

開水路流れにおける輸送過程

京都大学工学部 正員 岩佐 義朗
 京都大学工学部 正員 田綾 史郎
 京都大学大学院 学生員 戸田 圭一
 京都大学大学院 学生員 森田 義則

1. はじめに：開水路流れにおける物質の輸送過程は、移流分散方程式によることが多いが、投入の初期においては、移流分散方程式にしたがわないことが、従来より指摘されている。初期領域のモデル化についても、いくつかの研究がなされているが、初期領域の物質の輸送過程の実態そのものが、明らかにされていとは言い難い。このような見地より、本研究では、投入初期の領域を主たる対象として、水深方向、水路幅方向の多点において濃度～時間曲線の同時多点測定を行ない、その実態を明らかにするとともに、モデル化をはからうとしたものである。

2. 理論的検討：Batchelor, および Townsend は、一様な管路の流れにおいて、Taylorの一様乱流場の拡散理論が適用できることを示したが、このような考え方 (Lagrange的解析法) に立てば、流れ方向の分散、および、分散係数は、次のようにかかれると、

$$[(X - \bar{X})^2] = 2 [V_L^2] \int_0^t (t - \tau) R(\tau) d\tau \quad (1) \quad D = \frac{1}{2} \frac{d}{dt} [(X - \bar{X})^2] \quad (2)$$

$$\tau = 0 \text{ のとき } R(\tau) = 1$$

$$[(X - \bar{X})^2] = [V_L^2] t^2 \quad (3) \quad | \quad \tau \text{ が充分大きいとき} \quad | \quad \int_0^t R(\tau) d\tau = T_L, \quad \int_0^t \tau R(\tau) d\tau = T_L' \quad (5)$$

$$D = [V_L^2] t \quad (4)$$

$$[(X - \bar{X})^2] = 2 [V_L^2] T_L' (t - T_L / T_L) \quad (6)$$

$$D = [V_L^2] T_L' \quad (7)$$

ここに \bar{X} は、アンサンブル平均を示し、 V_L は、平均流速 \bar{U} を移動する座標系からみた、流れ方向の Lagrange 的 乱れ速度であり、Euler的乱れ速度 U' との関係は、

$$V_L(a, t) = U(X(a, t)) - \bar{U} + U'(X(a, t), t)$$

であり、 $[V_L^2] = \frac{1}{A} \int ((U - \bar{U})^2 + U'^2) dA$

である。

表-1

3. 実験結果の吟味；表-1は、筆者らの開水路流れにおける移流分散実験結果より、時間に関する一次モーメント \bar{X} 、二乗モーメント σ_x^2 、ピーコク濃度 C_p について、時間との関係より、輸送過程をいくつかの段階にわけたものである。 $(T_E = \frac{E^2}{g} / e_x)$

(2), (3) の領域が初期領域であり、

YOSHIAKI IWASA ; SHIROU AYA ; KEIICHI TODA ; YOSHINORI MORITA

(4)が、分散係数が一定となる領域である。(2), (3)では、分散の成長率ならびに、ピーク濃度の生起時刻とクラウドの平均的到達時刻との差に、明瞭な差が生じている。

4. 領域のモデル化の試み：分散係数が、ほぼ定数となる $\tau_L > 6$ 以上の領域では、移流分散方程式による一元解析の適用可能なことが、実験的に確かめられているが、 $\tau_L < 6$ 以下の領域については、まだ、未知の点が多い。 $(\tau_L = \frac{1}{14.8} T_E)$ とすると、 $6 \tau_L = 4.05 \times 10^{-1} T_E$

セミリト対象としたモデルの最も単純なものとして、平均流速のみで、移流するモデルを考える、思考モデルとして、二元的な流速場、濃度場を考え、流速分布として、対数則の成立を仮定し、Taylor (1953)¹⁾ の考え方を適用すると、

初期条件、 $t=0$ において $C=C_0$ ($0 < x < X, X \ll d$)
に対して、断面平均濃度

$$C = \frac{C_0 X}{U_0 t} \exp \left[\frac{1}{U_0} \left(\frac{x}{t} - U_0 t \right) \right] \quad (x=U_0 t) \quad 0 < x < U_0 t$$

$$C = 0 \quad U_0 t < x$$

を得る。ここに、 U_0 は最大流速である。(8)式より、ピーク濃度は、最大流速 U_0 を伝播し、

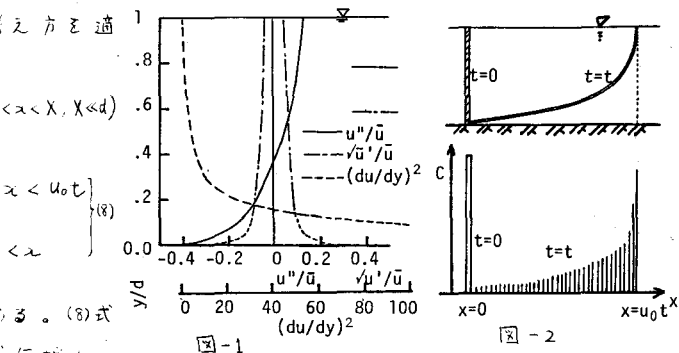


図-1

図-2

t^2 に比例して減衰することが知れる。また、(8)式の距離に関するモーメントをとることにより、クラウド重心は、平均流速 U_0 を伝播し、バリアンスは、 t^2 に比例することも容易に示される。(8)式で示される濃度分布を図2に例示するが、断面平均濃度としてみると、その形は、非常に歪んだ形となるが、濃度分布の非一様性が大きく、断面平均濃度として取り扱いは、不適切であることに注意しなければならない。

つぎに、 τ_L がもう少し大きいが、 $\tau_L < 6$ であるような領域を考える。この領域では、流体粒子は、まだ、放出点における流速との相関をかなり有しており、したがって、濃度分布も顕著に残しており、流速場をいくつかの層に区切ってモデル化（多層モデル）することができる。モニン・ヤグロム (1976)²⁾ の値も記されているが、平均流速点近傍での値も大きく変わっている。最も単純な多層モデルとして、平均流速点付近で分割される、二(三)層のモデルの適用性が考えられる。

参考文献¹⁾ Taylor G. I. (1953); Proc. Roy. Soc. A 219
²⁾ モニン・ヤグロム; 統計流体力学2, 総合図書

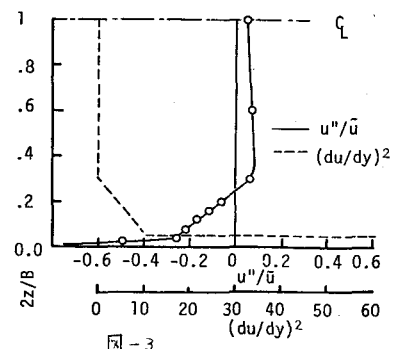


図-3